

بررسی آسیب مکانیکی در میوه‌های هسته دار مطالعه موردي گیلاس تک دانه مشهدی

حسن صدرنیا^{*}، حمید محمدی نژاد^۱

۱- استادیار گروه مهندسی بیوسیستم، دانشکده کشاورزی، دانشگاه فردوسی مشهد

*نویسنده مسئول: email:hassan.sadrnia@um.ac.ir

۲- کارشناس گروه مهندسی بیوسیستم، دانشکده کشاورزی، دانشگاه فردوسی مشهد

چکیده

با تعیین و اعمال حداقل نیروی فشاری در طی عملیات جابجایی میوه‌ها می‌توان آسیب مکانیکی را به طور قابل توجهی کاهش داد. آسیب مکانیکی باعث افزایش نرخ تنفس و تسریع در اضمحلال میوه‌ها می‌گردد. حساسیت میوه‌های هسته‌دار به دلیل وجود هسته سخت در دورن آنها بسیار بیشتر از سایر میوه‌ها است. در این تحقیق ابتدا خواص فیزیکی و مکانیکی گیلاس شامل وزن، قطرهای اصلی، شکل، مدول الاستیسیته، تنش شکست، کرنش شکست، پوست و گوشت میوه بر اساس استانداردهای موجود با ۲۰ تکرار تعیین گردید. سپس بارگذاری فشاری شبیه استاتیکی با سرعت ۲۵ میلیمتر بر دقیقه بر روی نمونه‌های کامل میوه گیلاس در سطوح ۴، ۶، ۸ و ۱۰ نیوتون صورت گرفت و ناحیه لهیگی پس از ۲۴ ساعت اندازه‌گیری شد. همچنین مدل‌های اجزای محدود میوه برای بررسی لهیگی داخلی در بارگذاریهای مختلف بررسی شدند. نتایج نشان داد گیلاس تک دانه مشهدی با میانگین ابعاد اصلی به ترتیب قطر بزرگ 28 ± 0.8 mm، قطر کوچک 23 ± 1.0 mm و ارتفاع 11 ± 1 mm و وزن 10.6 ± 0.88 گرم نسبت به سایر ارقام گیلاس دارای اندازه و وزن بسیار بالاتری است. نتایج آزمون مکانیکی نشان داد مقدار مجاز بارگذاری فشاری بر روی هر گیلاس ۲/۸ نیوتون است.

واژه‌ای کلیدی: تنش شکست بافت، مدول الاستیسیته، پوست میوه، مدل اجزای محدود.

مقدمه

گیلاس یکی از محصولات استراتژیکی و صادراتی شهرستان مشهد است. این محصول از جمله میوه‌های ناخودرس است که به عملیات پس از برداشت حساس بوده و دارای عمر پس از برداشت کوتاهی است. یکی از دلایل پایین بودن عمر پس از برداشت این محصول حساسیت زیاد آن به آسیب مکانیکی است. علت این امر بافت نرم و وجود هسته سخت در قسمت مرکزی آن است. باید توجه داشت که لهیگی سر آغاز و یا تشدید کننده عوامل بیماری زا نیز است. به منظور جلوگیری از آسیب به بافت نرم میوه در حین حمل و نقل و ایجاد شرایط ایمن لازم است بارهای واردہ به محصول از مقدار مجاز تجاوز ننماید.

بلاهوك ۱۹۹۹ ضرب مقاومت به لهیگی و حساسیت به لهیگی را در دو رقم گیلاس کوردیا^۱ و سم^۲ مورد مطالعه قرار

دادند. ایشان گزارش دادند مقاومت به لهیگی گیلاسهای مورد مطالعه در محدوده ۱۸-۹۳ سانتی متر مکعب بر ژول و حساسیت به

^۱ Kordia

لهیدگی آنها ۱۲-۷۳ سانتی متر مکعب بر ژول انرژی جذب شده است. در مقایسه با مقاومت به لهیدگی و حساسیت به لهیدگی سیب، گیلاس حداقل شش برابر کمتر از سیب دارای مقاومت به لهیدگی و حساسیت به لهیدگی است. این نکته از تحقیق ایشان قابل تأمل است که گیلاس به مراتب نسبت به آسیب‌های مکانیکی حساس‌تر از سایر میوه‌ها است لیکن به دلیل تیرگی رنگ پوست و گوشت گیلاس، لهیدگی آن به سرعت قابل تشخیص نمی‌باشد.

تیم و همکاران (۱۹۹۶) دستگاه غیرمخرب پرتابلی را برای اندازه‌گیری سفتی بافت گیلاس طراحی و ساختند. ایشان با استفاده از این دستگاه توانستند گیلاس‌های آسیب دیده را با دقیق بسیار خوبی از گیلاس‌های سالم جدا نمایند. این دستگاه همچنین توانایی تشخیص سطح رسیدگی و بلوغ گیلاس را دارد. نتایج تحقیق ایشان نشان داد میوه گیلاس سالم دارای سفتی معادل ۴۸۹ نیوتون بر متر و گیلاس‌های تحت تیمار سقوط بر سطح پلاستیکی دارای سفتی ۴۲۱، ۴۴۵ و ۲۹۹ نیوتون بر متر به ترتیب برای یکبار، دوبار و سه بار سقوط از ارتفاع ۷۵ سانتی‌متری بودند. در تحقیقی دیگر یونس و دیویس (۱۹۹۵) یک سنسور دینامیکی برای تعیین سفتی گیلاس ساختند و گزارش نمودند سفتی اندازه‌گیری شده توسط سنسور مطابقت خوبی با آزمایش‌های نیرو-تغییرشکل و حس انسان دارد.

عمادپور و همکاران (۲۰۰۹) تاثیر گرانولهای نانوزوئلیت حاوی پرمونگنات پتانسیم بر افزایش عمر انبارمانی و خصوصیات کیفی گیلاس تک دانه مشهدی را مورد مطالعه قرار دادند و گزارش نمودند سفتی گیلاس‌های شاهد پس از ۳۰ روز انبارمانی از ۱۶/۵ به ۲/۶۱ نیوتون کاهش یافت در حالی که سفتی نمونه‌های تحت تیمار پرمونگنات پتانسیم پس از طی این مدت به ۰/۴۰ نیوتون کاهش یافت که در مقایسه با نمونه شاهد بیشتر بود. نتیجه این تحقیق نشان می‌دهد پرمونگنات پتانسیم موجب حفظ سفتی طی دوره انبار مانی شده است.

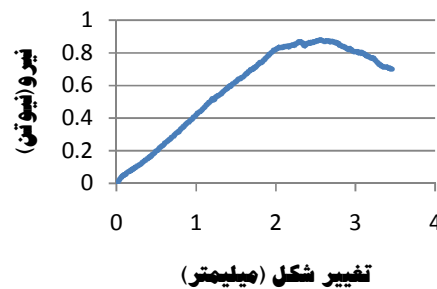
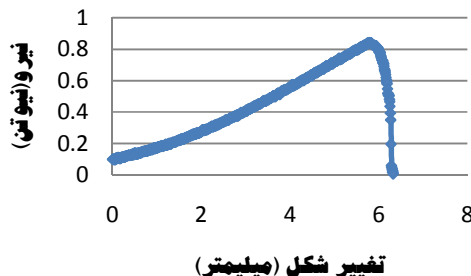
بررسی منابع نشان داد در خصوص آسیب مکانیکی میوه گیلاس تحقیقات کمی صورت گرفته است. از طرفی تعیین آستانه آسیب دیدگی گیلاس تحت فشارهای مکانیکی برای حمل و نقل این مخصوص مورد نیاز است. هدف از این تحقیق انجام آزمایشات دقیق مکانیکی بر روی بخش‌های مختلف میوه گیلاس (پوست، گوشت و هسته) و توسعه مدل اجزای محدود برای تعیین حد آستانه بارهای مکانیکی است.

مواد و روش‌ها

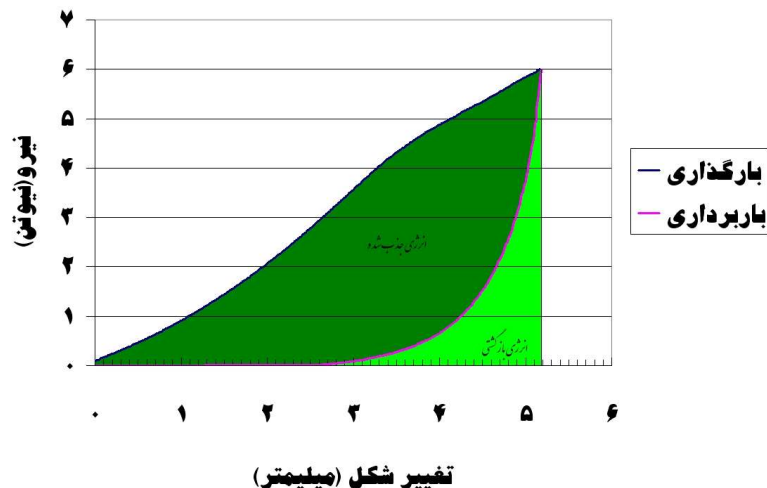
دو سری آزمایش عملی در این تحقیق بر روی گیلاس انجام شد. سری اول آزمایش‌ها به منظور جمع‌آوری داده‌ها برای ایجاد مدل اجزای محدود بود. این آزمایش‌ها شامل اندازه‌گیری ابعاد (سه قطر عمود بر هم؛ قطر بزرگ، قطر کوچک و ارتفاع) و خواص مکانیکی گوشت و پوست (مدول الاستیسیته، تنش شکست و کرنش شکست) هستند. طبق استاندارد آزمون مواد غذایی انجمن مهندسان کشاورزی آمریکا (ASAE,2003) بیست تکرار برای هر آزمایش در نظر گرفته شد. ابعاد به کمک کولیس

² Sam

دیجیتالی با دقت 0.05 میلی‌متر اندازه‌گیری شد. آزمایش تعیین خواص مکانیکی با استفاده از دستگاه تست یونیورسال و بر روی سه قسمت پوست، گوشت و هسته انجام شد (شکل ۱). سری دوم آزمایش‌ها با هدف جمع‌آوری داده‌هایی برای ارزیابی مدل المان محدود انجام شد. این آزمایشها شامل بارگذاری در محدوده مختلف از 2 نیوتون تا پاره شدن پوست انجام شد و نمودارهای نیرو- تغییر شکل و لهیدگی بافت داخلی مورد بررسی قرار خواهند گرفت (شکل ۲ و ۳).



شکل ۱- سمت بالا: آزمون کشش پوست گیلاس به ضخامت 0.3 و ابعاد 8×12 میلی‌متر
سمت پایین: آزمون فشار بر روی گوشت گیلاس به قطر 8 و ارتفاع 8 میلی‌متر

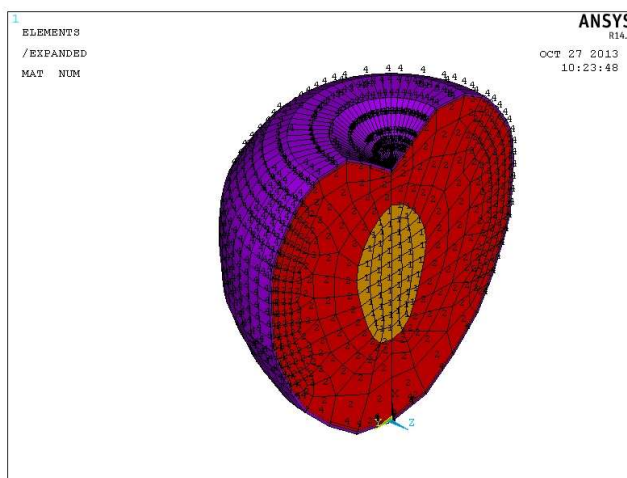


شکل ۲- آزمون بارگذاری و باربرداری بر روی نمونه کامل گیلاس به قطر 28 میلی‌متر



شکل ۳- لهیدگی داخلی گیلاس در اثر بارگذاری فشاری استاتیکی به ترتیب از بالا، ۱۰، ۸ و ۶ نیوتون

نرم افزار شبیه سازی مهندسی انسیس (نسخه ۱۴/۰) جهت مدل سازی و انجام تحلیل اجزای محدود مورد استفاده قرار گرفت(شکل ۴). در میان قابلیت‌های نرم افزار مذکور در تحلیل اجزای محدود، شاخص‌ترین آنها با توجه به اهداف این تحقیق توانایی انجام تحلیل‌های غیر خطی است. مسائلی مانند بارگذاری میوه شامل سه عامل غیر خطی مادی، غیر خطی هندسی (تغییر شکل بزرگ) و غیر خطی شرایط مرزی(تماس) هستند. لذا جهت انجام تحلیل‌های غیرخطی باید بارگذاری به صورت نموی بر روی میوه صورت گرفته و سپس شرایط تعادل در هر نمو لحاظ گردد.

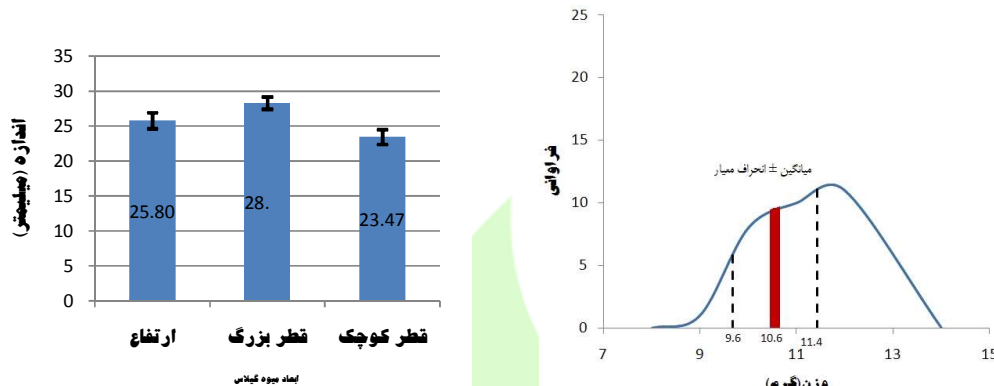


شکل ۴- مدل کامل اجزای محدود گیلاس با تفکیک بافت‌های اصلی میوه شامل پوست، گوشت و هسته

نتایج و بحث

بررسی وزن و ابعاد نمونه‌های گیلاس مشهدی نشان داد وزن نمونه‌ها از توزیع نرمال تبعیت می‌کند. میانگین وزن نمونه‌ها ۱۰/۶ گرم با انحراف معیار ۰/۸ است(شکل ۵). نادری بلداجی وزن شش رقم گیلاس را به طور میانگین $۴/۵$ ، $۵/۴$ ، $۵/۴$ ، $۹/۸$ ، $۷/۴$ و $۱/۶$ گرم به ترتیب برای ارقام مشهد، سیاه مشهد، دورگه کرج، شبستر، سیاه دانشکده و قزوین گزارش نمود. مقایسه وزن

نمونه‌های این تحقیق با نمونه‌های گزارش شده توسط نادری‌بلداجی نشان می‌دهد که وزن نمونه‌های گیلاس تک دانه مشهدی بسیار بیشتر از سایر ارقام موجود در ایران است.



شکل ۵ - سمت راست: پراکندگی وزنی گیلاس تک دانه مشهدی
سمت چپ: میانگین و انحراف معیار قطرهای اصلی گیلاس رقم تک دانه مشهدی (تعداد نمونه ۳۰)

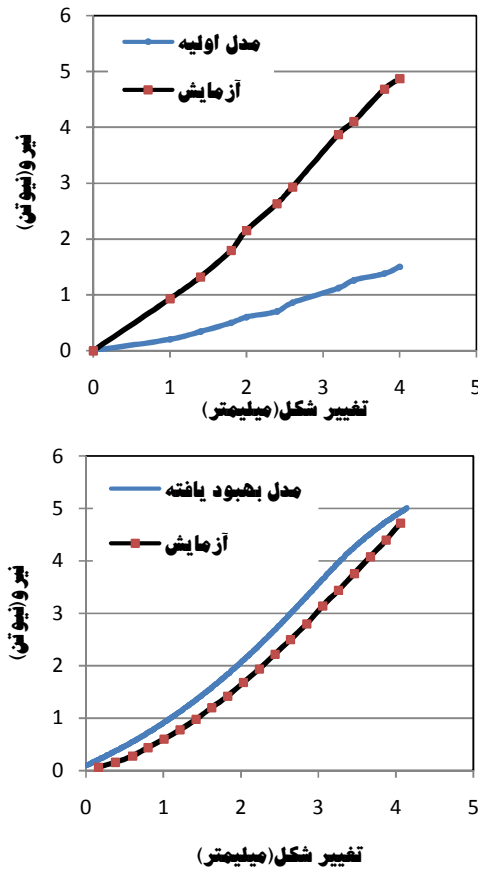
نمودار شکل ۵ وضعیت ابعاد اصلی میوه گیلاس رقم مورد بررسی در این تحقیق را نشان می‌دهد. میانگین قطر بزرگ ۲۸/۳۳، قطر کوچک ۲۳/۴۷ و ارتفاع نمونه‌ها ۲۵/۸۰ میلیمتر بدست آمد که نسبت به اندازه‌های گزارش شده برای سایر نمونه‌ها در تحقیقات سایر محققین بسیار بیشتر است.

نتایج آزمون مکانیکی روی پوست، گوشت و هسته گیلاس در جدول ۱ نشان داده شده است. در تحقیقی که بارگل و همکاران (۲۰۰۴) انجام دادند مدول الاستیسیته گیلاس را با استفاده از آزمون کشش دو بعدی 171 ± 18 مگاپاسکال گزارش نموده اند که با نتایج تحقیق حاضر اختلاف زیادی دارد. همچنین در تحقیق ونزیروک (۲۰۰۵) مدول الاستیسیته پوست سیب ۱۲ مگاپاسکال گزارش شده است. رجبی پور (۱۹۹۵) تنش شکست را برای پوست گوجه فرنگی ۱۰ مگاپاسکال، کرنش شکست و مدول الاستیسیته آن را به ترتیب ۱۱/۰ و ۱۱۰ مگاپاسکال گزارش نمود. با توجه به اینکه تعیین ضخامت پوست نتایج خواص مکانیکی آن را به طور قابل توجهی تغییر می‌دهد می‌توان علت این اختلاف‌ها را در روش تعیین ضخامت پوست دانست.

جدول ۱. خواص مکانیکی پوست و گوشت گیلاس تک دانه مشهدی

خواص مکانیکی پوست			خواص مکانیکی گوشت			
مدول الاستیسیته (KPa)	تششکست (KPa)	کرنش شکست	مدول الاستیسیته (KPa)	تششکست (KPa)	کرنش شکست	
۵۶/۹۲	۱۵/۵۹	۰/۲۳	۴۹۷	۳۳۲	۰/۶۶	میانگین
۲۰/۴۹	۵/۸۸	۰/۰۶	۱۲۳	۱۰۰	۰/۱۲	انحراف معیار
۱۱۷/۸۴	۲۶/۵۸	۰/۳۵	۸۴۶	۵۲۷	۰/۸۸	بیشینه
۳۰/۱۵	۵/۵۷	۰/۱۱	۲۹۰	۱۵۶	۰/۴۱	کمینه

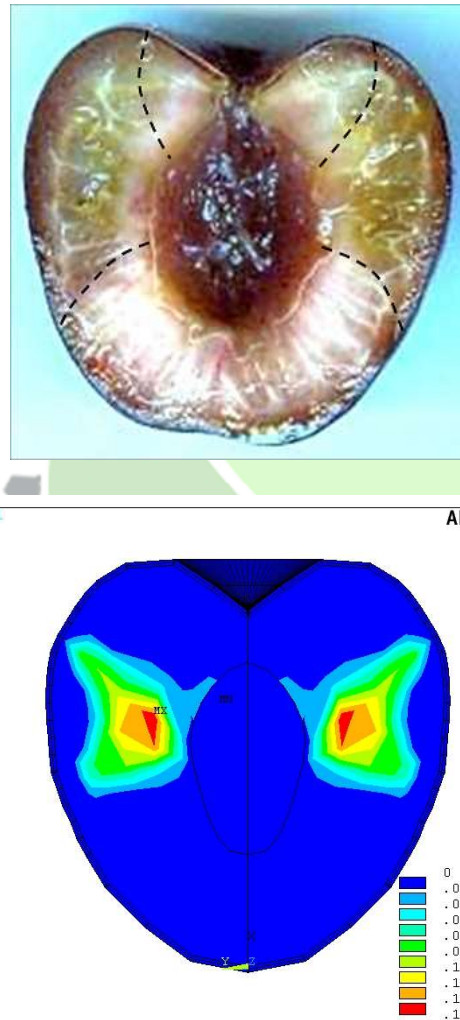
نتایج بارگذاری بر روی مدل‌های اجزای محدود بدست آمده از پارامترهای هندسی و خواص مکانیکی جدول ۱ در شکل ۵ ارائه شده است. نتایج نشان می‌دهد در مدل اجزای محدود که از میانگین مدول الاستیسیته و تنش شکست استفاده شده است اختلاف مدل با آزمایش واقعی بسیار زیاد است. علت این امر را می‌توان نحوه محاسبه مدول الاستیسیته ارائه شده در استاندارد ASAE,2003 (ASAE) دانست. برخی محققین دیگر نیز گزارش دادند مدول الاستیسیته و تنش محاسبه شده توسط روابط ارائه شده استاندارد ASAE دارای اشکال است. در مواردی گزارش شده است که باید مدول الاستیسیته تا $\frac{2}{5}$ برابر مقدار محاسبه شده در نظر گرفته شود. در این تحقیق مدل بهبود یافته با استفاده از ضریب ۳ در مدول الاستیسیته و تنش شکست محاسبه شده در جدول ۱ ایجاد شد.



شکل ۵- مقایسه نتایج مدل اولیه و مدل بهبود یافته با آزمایش عملی بارگذاری استاتیکی بر گیلاس رقم تک دانه مشهدی

همچنین باید توجه داشت که در نمونه‌های استفاده شده برای تعیین مدول الاستیسیته و تنش شکست با توجه به کوچک بودن نمونه‌ها و آسیب سلوهای محیط بیرونی استوانه، سطح مقطع در نظر گرفته شده باید کمتر از سطح مقطع استوانه نمونه‌گیر باشد.

با استفاده از مدل بهبود یافته سطح ناحیه لهیدگی در بارگذاریهای مختلف بدست آمد(شکل ۶). نتایج نشان داد اولین آثار لهیدگی داخلی در تغییر شکل $2/5$ میلیمتر و نیروی $2/8$ نیوتون اتفاق می افتد که حجم لهیدگی آن معادل 195 میلیمتر مکعب است. لذا در عملیات پس از برداشت گیالاس باید حداقل نیروی فشاری با استفاده از ضرب اطمینان مناسب کمتر از $2/8$ نیوتون بر روی هر گیالاس باشد.



شکل ۶ - بررسی لهیدگی داخلی با استفاده از مدل بهبود یافته. سمت راست نمونه واقعی بارگذاری شده و سمت چپ ناحیه کرنش پلاستیک(لهیدگی) در مدل بهبود یافته

منابع

- عmadipour, M., B. Qereh Yاضي, I. Rasabiyi Klijg, A. Amrani و S. Mohammadi. ۱۳۸۸. تاثير گرانول هاي نانوزئوليت حاوي پرمنگنات پتانسيم بر افزایش عمر انبارمانی و خصوصيات کيفی گیالاس تکانه مشهد. مجله تحقیقات مهندسی کشاورزی ۱۰:۱۱-۲۶.

- 2- American Society of Agricultural Engineering (ASAE). 2003. ASAE standard, Compression Test of Food Material of Convex Shape. ASAE S368.4 DEC00.
- 3- Bargel, H., H.C. Spatz, T. Speck and C. Neinhuis. 2004. Two-dimensional tension tests in plant biomechanics--sweet cherry fruit skin as a model system. *Plant Biology*, 6:432-439.
- 4- Blahovec, J. 1999. Bruise resistance coefficient and bruise sensitivity of apples and cherries. *Int. Agrophysics*, 13:315-321.
- 5- Naderiboldaj , M., A. Khadivi khub, A. Tabatabaeefar, M. Ghasemi Varnamkhasti and Z. Zamani. 2008. Some Physical Properties of Sweet Cherry (*Prunus avium L.*) Fruit. *American-Eurasian J. Agric. & Environ. Sci.*, 3: 513-520.
- 6- Timm, E. J., G. K. Brown, P. R. Armstrong, R. M. Beaudry and A. Shirazi. 1996. Portable instrument for measuring firmness of cherries and berries. *Applied Engineering in Agriculture*. 12:71-77.
- 7- Van Zeebroeck, M. 2005. The discrete element method (DEM) to simulate fruit impact damage during transport and handling. PhD thesis no. 643. Faculteit Bio-ingenieurswetenschappen, Katholieke Universiteit Leuven.
- 8- Younce, F. L. and D. C. Davis. 1995. A dynamic sensor for cherry firmness. *Transactions of the ASAE*. 38:1467-1476.

Mechanical Damage in Stone Fruit in Case Study Mashhad Sweet Cherry Cultivar

Hassan Sadrnia^{*}¹, Hamid Mohamadinezhad²

1- Assistant Professor, Department of Biosystems Engineering, Ferdowsi University of Mashhad

*Corresponding author: hassan.sadrnia@um.ac.ir

2- Member of Technical Staff, Department of Biosystems Engineering, Ferdowsi University of Mashhad
mohamadinezhad@um.ac.ir

Abstract

Mechanical damage could be considerably reduced by acting minimum compression during handling operations. Mechanical damage increases rate of respiration and senescence processes in plant tissues. Because of hard core, susceptibility of stone fruits are more than others. In this research, some physical and mechanical properties of cherry such as weight, main dimensions, shape, modulus of elasticity, failure stress, failure strain (skin and flesh) were determined according to standard with 20 replications. Then the whole cherry was squeezed by quasi-static load at five levels and after 24 hours its bruise was measured. Also finite element models were developed to estimate internal bruise at different load . the results show that mashhad sweet cherry cultivar have mean major diameter 28 ± 0.88 mm, minor diameter 23 ± 1.0 mm, height 25 ± 1.1 mm and weight 10.6 ± 0.88 grams which are much more than other cherry cultivars. The mechanical results indicate that the threshold compression load is 2.8 N for one cherry.

Keywords: failure stress of texture, modulus of elasticity, skin of fruit, finite element model .